Vol. 48 No. 8 Aug. 2016

doi:10.11918/j.issn.0367-6234.2016.08.021

## 短链氯化石蜡 $C_{10}(50.2\% \text{ Cl})$ 对斑马鱼胚胎的发育毒性

刘丽华,马万里,刘丽艳,李一凡

(哈尔滨工业大学 市政环境工程学院 城市水资源与水环境国家重点实验室 国际持久性有毒物质联合研究中心,哈尔滨 150090)

摘 要: 为评价短链氯化石蜡对斑马鱼胚胎的发育毒性,以斑马鱼为模式生物,观察不同质量浓度的短链氯化石蜡 C<sub>10</sub>(50.2% CI)暴露 24,48,72 和 96 h 后斑马鱼胚胎/幼鱼的死亡率、孵化率、畸形率和体长.结果表明,C<sub>10</sub>(50.2% CI)在斑马鱼 的早期发育阶段可引起一系列非致死效应和致死效应.高质量浓度(1000和10000μg/L)短链氯化石蜡可导致96h 斑马鱼 胚胎死亡率显著升高(达 100%),48 h 抑制胚胎的孵化,并诱发一系列的发育畸形.C<sub>10</sub>(50.2% CI)在斑马鱼幼鱼中引起的畸形 表型主要包括脊柱弯曲,卵黄畸形,心包囊肿,尾部畸形和鱼鳔发育缺陷.低质量浓度组和高质量浓度组 C<sub>10</sub>(50.2% CI) 均能够 抑制斑马鱼幼鱼的生长速度,目前的环境质量浓度已具有一定程度的水生生态风险.

关键词:短链氯化石蜡;斑马鱼;胚胎;发育毒性

中图分类号: X171.5

文献标志码: A

文章编号: 0367-6234(2016)08-0127-04

## Study on developmental toxicity of short-chain chlorinated paraffins $C_{10}(50.2\% \text{ Cl})$ in zebrafish embryos

LIU Lihua, MA Wanli, LIU Liyan, LI Yifan

(International Joint Research Center for Persistent Toxic Pollutants (IJRC-PTS), State Key Laboratory of Urban Water Resource and Environment, School of Municipal and Environmental Engineering, Harbin Institute of Technology, Harbin 150090, China)

**Abstract:** A zebrafish (Danio rerio) model was applied to evaluate the developmental toxicity of short-chain chlorinated paraffins (SCCPs). Death rates, hatching rates, malformation rates and body length were observed after the zebrafish embryos were exposed to different concentrations of C<sub>10</sub> (50.2% Cl) separately for 24, 48, 72 and 96 h. The results indicated that  $C_{10}(50.2\% \text{ Cl})$  could exert lethal and sub-lethal effects on the early life stage of zebrafish. Higher concentrations of C<sub>10</sub> (50.2% Cl) (1 000 and 10 000 μg/L) could not only cause significant death rates increase to 100% after 96 h exposure and hating delay after 48 h exposure, but also induce a series of malformations, including spinal curvature, yolk deformity, pericardial edema, malformation of tail and uninflated swim bladder. Since the growth inhibition of juvenile zebrafish caused by C<sub>10</sub> (50.2% Cl) on the exposure concentrations no matter high or low, SCCPs might be a risk to the aquatic ecology and fish development.

**Keywords:** SCCPs; zebrafish; embryo; developmental toxicity

短链氯化石蜡(short chain chlorinated paraffins, SCCPs)是氯化石蜡中的一类,碳链长度为10~13个 碳原子,常见含氯质量分数为30%~75%[1-2].短链 氯化石蜡比中链和长链氯化石蜡更容易从各类终端 产品中释放进入环境,并且对水生态环境和哺乳动 物显现出更强的毒性[3],具有潜在的致癌性[4],因 而备受关注.短链氯化石蜡被广泛用作金属加工润 滑剂、密封剂、橡胶和纺织品阻燃剂、皮革加工助剂、

收稿日期: 2015-12-16

基金项目:城市水资源与水环境重点实验室(哈尔滨工业大学)自主

课题(2013DX15)

作者简介: 刘丽华(1984—), 女, 博士研究生;

李一凡(1949--),男,教授,博士生导师

通信作者: 李一凡, ijrc\_pts\_paper@ yahoo.com

油漆涂料添加剂和塑化剂[2,5].伴随着氯化石蜡的大 量生产和使用,环境中短链氯化石蜡的污染问题也 随之而来,短链氯化石蜡在各类环境介质如空气、水 体、土壤、沉积物、污水污泥、室内灰尘、野生动物甚 至母乳中均被检出[6-13].目前,短链氯化石蜡在中国 自然水体中的监测数据很少.2011年,北京高碑店湖 水体中短链氯化石蜡总质量浓度范围为 162~ 176 ng/L<sup>[7]</sup>,质量浓度水平高于 2005 年日本某河流 (7.6~31 ng/L)[14]和 2004年加拿大圣劳伦斯河 (15.74~59.57 ng/L)[6],低于 2004 年西班牙某河流 (300~1 100 ng/L)[14].有研究表明,氯化石蜡对哺 乳动物的肝脏、甲状腺和肾脏有毒性作用[15-17].美 国国家毒理学规划处早期的研究显示,氯化石蜡工 业品 C500C(58% Cl)可导致小鼠和大鼠肝肿瘤、肾 小球腺瘤或腺癌、滤泡细胞腺瘤或甲状腺癌的发生率显著增加,具有致癌性 $^{[18]}$ .非洲爪蟾胚胎暴露于氯化石蜡工业品CP 56-12 ( $C_{12}$ , 56% Cl)后出现发育畸形,表明其具有胚胎毒性和致畸性 $^{[1]}$ .另有研究显示,短链氯化石蜡对北美鳉和日本青鳉的胚胎发育产生毒性作用,其中短链氯化石蜡工业品( $C_{10-13}$ , 58% Cl)的最小可观察效应质量浓度(lowest observed effect concentration, LOEC)和最大无观察效应质量浓度(no observed effect concentration, NOEC)为620.5和280  $\mu$ g/L. $^{[19-20]}$ ,实验室合成品 $C_{10}$ H<sub>15.3</sub>Cl<sub>6.7</sub>的 LOEC和NOEC为370和50 $\mu$ g/L $^{[21]}$ .另外,短链氯化石蜡具有内分泌干扰毒性.有研究表明,短链氯化石蜡可降低小鼠和大鼠体内甲状腺素总T4的浓度,并引起促甲状腺素TSH和尿苷二磷酸葡醛酸转移酶(UDPGT)水平升高,导致甲状腺功能紊乱 $^{[22-23]}$ .

由于短链氯化石蜡中同系物和异构体组成复杂,受试物化学品难以获得,目前关于短链氯化石蜡不同组分的毒性数据,尤其是发育毒性数据非常少.本实验以斑马鱼胚胎和幼鱼作为敏感动物模型,研究了短链氯化石蜡中的 $C_{10}$ (50.2% CI)对斑马鱼胚胎的发育毒性.

### 1 实验

### 1.1 实验试剂

本实验受试物为一种短链氯化石蜡合成品  $C_{10}$ -SCCP( $C_{10}H_{18}Cl_4$ ),碳链长度为 10 个碳,氯质量分数为 50.2%,由德国慕尼黑工业大学 Mehmet Coelhan 教授提供.DMSO 购自 Sigma-Aldrich 公司.

### 1.2 实验动物

成年斑马鱼饲养在循环养殖系统中,饲养用水充分曝气,并经过生物过滤器和 UV 光照处理,水温 28.5 ℃,光/暗周期为 14/10 h,每日喂食 2 次,控制培养 1 个月后开始采集胚胎.胚胎采集前 1 天晚上将雌鱼和雄鱼按 2:1 的比例放入配鱼箱中,中间用挡板隔开.采集当天早上 8:00 取出挡板开始配鱼,大约 1 h 后收集胚胎.不同配鱼箱中的胚胎用吸管取出清洗后收集到同一个培养皿中混匀,待胚胎发育至 2 hpf (受精后小时数)时在显微镜下挑选发育正常的胚胎进行染毒.

### 1.3 染毒与测定

选取产卵后 2 h 发育进入囊胚期的健康胚胎,用吸管吸至培养皿中,每个培养皿放入 20 枚胚胎,分别加入 25 mL 新鲜的染毒液,染毒质量浓度梯度设置为 0,0.01,0.1,0.5,1,10,100,1000 和 10 000  $\mu$ g/L(含体积分数 0.1% DMSO),每个质量浓度组设置 3 个平行样.将培养皿置于 28.5  $^{\circ}$ C 的培

养箱中,每24 h 更换新鲜的染毒液,及时清除死亡的胚胎,同时记录死亡胚胎数目.胚胎发育至96 hpf时每个培养皿采集10条幼鱼照片,用 Image J 软件测量斑马鱼幼鱼的体长,记录和计算斑马鱼胚胎的存活率、畸形率和孵化率.

### 1.4 统计分析方法

将所有数据求出平均值和标准差(Mean±SE),使用 SigmaPlot 12.0 软件对实验数据进行统计分析,采用单因素方差分析(one-way ANOVA)和双因素方差分析(two-way ANOVA)检验处理组和对照组之间的差异显著性.P<0.05 为差异显著,用\*表示;P<0.01 和 P<0.001 为差异极显著,用\*\*和\*\*\*表示.

## 2 结果与讨论

# 2.1 短链氯化石蜡 $C_{10}(50.2\% \text{ Cl})$ 对斑马鱼胚胎/幼鱼存活率的影响

在斑马鱼胚胎暴露于短链氯化石蜡  $C_{10}$  (50.2% Cl)的过程中,胚胎/幼鱼在 4 个观察时间点(24,48,72,96 hpf)的死亡率统计见图 1.可以看出,胚胎死亡率随着 SCCPs 质量浓度的升高和暴露时间的延长而升高.10 mg/L 暴露组 72 h 时胚胎的死亡率显著高于 24 h (P = 0.022)和 48 h (P=0.022),96 hpf 时与对照组相比出现显著死亡(P<0.001),死亡率急剧升高达 100%.对照组在全部观察时间点均没有出现胚胎死亡,其他处理组也均未观察到显著死亡情况.

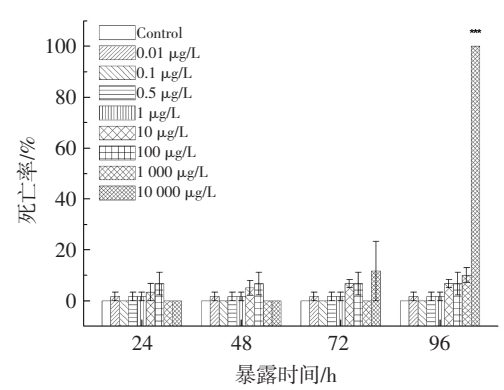


图 1 短链氯化石蜡 C<sub>10</sub> (50.2% Cl) 对斑马鱼胚胎/幼鱼死 亡率的影响

Fig.1 Effects of  $C_{10}(50.2\%\ Cl)$  on the death rates in zebrafish embryo/ larvae

### 2.2 短链氯化石蜡 C<sub>10</sub>(50.2% Cl) 对斑马鱼胚胎孵 化率的影响

统计胚胎在 24,48,72 和 96 hpf 时的孵化率,用以评估短链氯化石蜡  $C_{10}(50.2\% \text{ Cl})$  对胚胎孵化过程的影响.如图 2 所示,斑马鱼胚胎在 24 hpf 后开始

孵化,到 48 hpf 时对照组的胚胎孵化率达 75%,此时 1 000 和 10 000  $\mu$ g/L 暴露组的孵化率显著低于对照组(P<0.001),分别为 43.3%和 47.7%.72 hpf 时,对照组和 0.01  $\mu$ g/L 暴露组中孵化率达 100%,而其他处理组中的胚胎均未完全孵化,孵化率为 91.7%~98.3%.

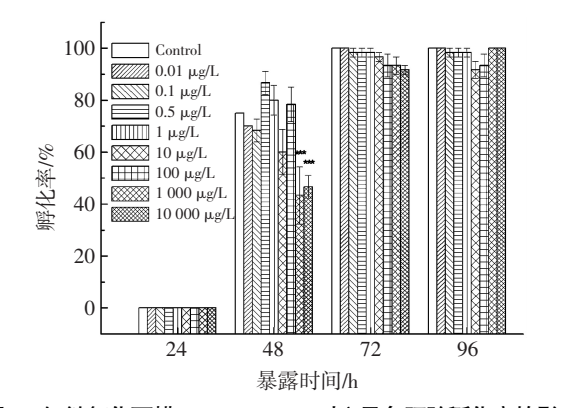


图 2 短链氯化石蜡 C<sub>10</sub>(50.2% Cl)对斑马鱼胚胎孵化率的影响 Fig.2 Effects of C<sub>10</sub> (50.2% Cl) on the hatching rates in zebrafish embryo

### 2.3 短链氯化石蜡 C<sub>10</sub> (50.2% Cl) 对斑马鱼胚胎/ 幼鱼畸形率的影响

如图 3 所示,短链氯化石蜡 C<sub>10</sub>(50.2% Cl)的暴露导致斑马鱼胚胎和幼鱼出现一系列的发育畸形,其中出现比例较高且表型最明显的几种畸形类型为脊柱弯曲(SC)、卵黄囊肿(YD)、心包囊肿(PE)、尾部畸形(MT)和鱼鳔发育缺陷(USB).从图 4 可以看出,在 24 hpf 时,并未观察到畸形胚胎.48 hpf 时,1 000和 10 000 μg/L 暴露组幼鱼最早出现 SC、YD和 MT,与对照组相比畸形率也显著升高,分别为18.3%和 46.7%.随着暴露时间的延长,1 000 和10 000 μg/L暴露组畸形表型和畸形率也随之增加,到 72 hpf 时所有畸形表型均出现,畸形率也达最大值,分别为 56.7%和 100%.



(a) 对照组



(b) C10(50.2% Cl)

图 3 短链氯化石蜡 C<sub>10</sub>(50.2% Cl) 导致的畸形表型

Fig.3 Typical malformation types in zebrafish larvae exposed to  $C_{10}(50.2\%\ \text{Cl})$ 

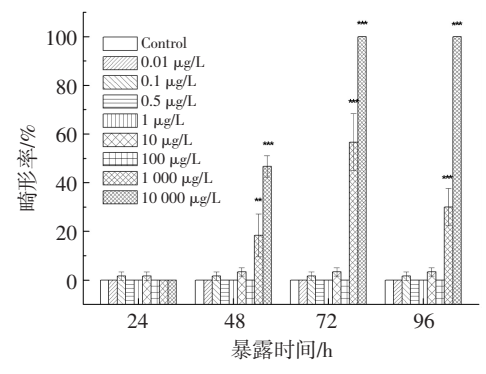


图 4 短链氯化石蜡 C<sub>10</sub> (50.2% Cl) 对斑马鱼胚胎/幼鱼畸 形率的影响

Fig.4 Effects of  $C_{10}$  ( 50.2% Cl ) on the malformation rates in zebrafish embryo/ larvae

### 2.4 短链氯化石蜡 C<sub>10</sub>(50.2% Cl)对斑马鱼幼鱼体 长的影响

以 96 hpf 斑马鱼幼鱼体长为观察终点,评估短链氯化石蜡  $C_{10}(50.2\%~Cl)$  对斑马鱼幼鱼生长速度的影响.如图 5 所示,短链氯化石蜡  $C_{10}(50.2\%~Cl)$  的暴露抑制了斑马鱼幼鱼的生长速度.96 hpf 时, 0.5、1 000 和 10 000  $\mu$ g/L 暴露组的幼鱼平均体长分别为(3.62±0.00)、(3.60±0.01)和(3.08±0.01) cm, 显著低于对照组体长(3.72±0.00) cm.

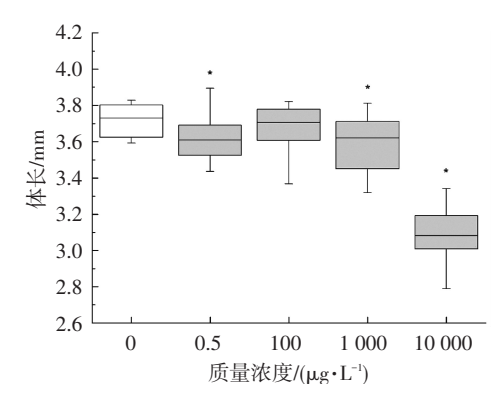


图 5 短链氯化石蜡  $C_{10}(50.2\% \text{ Cl})$  对斑马鱼体长的影响

Fig.5  $\,$  Effects of  $\,$  C $_{10}(\,50.2\%\,$  Cl $\,$ ) on the body length in zebrafish larvae

## 3 讨论

本实验的目的是研究短链氯化石蜡  $C_{10}(50.2\%\ Cl)$ 对斑马鱼胚胎/幼鱼的早期发育毒性.根据国内外的监测数据,自然水体中短链氯化石蜡的质量浓度范围在  $0.01\sim1.10\ \mu g/L$ .因此,本研究染毒质量浓度涵盖了环境质量浓度相似水平,同时设置了高剂量染毒组,以利于观察染毒物的毒理学终点效应.研究结果表明,短链氯化石蜡  $C_{10}(50.2\%\ Cl)$ 可引起胚胎/幼鱼的死亡,抑制胚胎的孵化和幼鱼生长,并导致一系列的发育畸形.

斑马鱼胚胎对于  $C_{10}(50.2\% \text{ Cl})$  的敏感性导致

胚胎 出 现 显 著 死 亡,且 呈 现 剂 量 效 应 关 系.  $C_{10}(50.2\% \text{ Cl})$  对 斑 马 鱼 胚 胎 96 h 的  $LC_{50}$  为  $1\sim10$  mg/L,这与 Fisk 在日本青鳉鱼胚胎中得到的  $C_{10}H_{15.5}Cl_{6.5}$  的  $LC_{50}$  值  $2.7\sim9.6$  mg/L 相似<sup>[21]</sup>,但远高于 SCCPs 目前在环境中的质量浓度.本研究结果表明,短链氯化石蜡  $C_{10}(50.2\% \text{ Cl})$  具有一定的致死毒性,但在目前的环境质量浓度下不会直接导致鱼类的显著死亡.

短链氯化石蜡 C<sub>10</sub>(50.2% Cl)的暴露可引起胚胎孵化时间推迟,从而降低孵化率.暴露于 1 000 和 10 000 μg/L 高质量浓度中的胚胎 48 hpf 时孵化率显著低于对照组,表明高质量浓度的 C<sub>10</sub>(50.2% Cl)会推迟胚胎的孵化过程.Fisk 在日本青鳉鱼胚胎实验中也发现 SCCPs 有类似的作用,但并不显著<sup>[21]</sup>.孵化时间是水生生物幼体发育过程中的重要指标.外源性污染物可能会改变胚胎发育过程中的信号,而这些信号是胚胎从绒膜中解脱出来所必须的<sup>[24]</sup>.本研究结果表明,短链氯化石蜡 C<sub>10</sub>(50.2% Cl)对斑马鱼胚胎的孵化过程产生一定的影响,且影响程度取决于 C<sub>10</sub>(50.2% Cl)的质量浓度,但在目前的环境质量浓度下尚不会直接影响鱼类的胚胎孵化过程.

胚胎暴露于外源性污染物时可以观察到发育过 程中的各种畸形现象[25-26],胚胎的发育毒性比急性 毒性更加敏感.本研究中,短链氯化石蜡 C<sub>10</sub>(50.2% Cl)的暴露导致斑马鱼胚胎出现多种畸 形表型,暴露于 1 000 和 10 000 µg/L 高质量浓度中 的胚胎从48 hpf 开始畸形率显著高于对照组和其他 处理组,高质量浓度的 C10(50.2% Cl)显示出较强的 致畸毒性.此外, C<sub>10</sub>(50.2% Cl)的发育毒性还表现 为对斑马鱼幼鱼的生长速度的影响.本研究显示,该 影响不仅出现在高质量浓度暴露组中,在较低质量 浓度(0.5 µg/L)暴露时也有发生.另有研究显示,非 洲爪蟾胚胎暴露于氯化石蜡工业品 CP 56-12  $(C_1, 56\% Cl)$  后也产生了生长抑制效应<sup>[1]</sup>.本研 究结果表明,短链氯化石蜡 C10(50.2% Cl)对斑马鱼 早期发育具有显著的发育毒性,目前的环境质量浓 度可能已具有一定程度的水生生态风险.

## 4 结 论

- 1) 10 000 μg/L 的短链氯化石蜡  $C_{10}(50.2\%$  Cl) 可导致斑马鱼胚胎 96 hpf 死亡率显著升高.
- 2) 1 000 和 10 000  $\mu$ g/L 的短链氯化石蜡  $C_{10}(50.2\% \text{ Cl})$ 可显著抑制胚胎 48 hpf 的孵化过程.
- 3) 1 000 和 10 000  $\mu$ g/L 的短链氯化石蜡 C<sub>10</sub>(50.2% Cl)可显著诱发斑马鱼幼鱼 48、72 和 96 hpf的一系列发育畸形,主要包括脊柱弯曲、卵黄

囊肿、心包囊肿、尾部畸形和鱼鳔发育缺陷.

4)0.5、1 000 和 10 000  $\mu$ g/L 的短链氯化石蜡  $C_{10}(50.2\% \text{ Cl})$ 均可显著降低斑马鱼幼鱼 96 hpf 的体长,抑制斑马鱼幼鱼的生长,目前的环境质量浓度已具有一定程度的水生生态风险.

## 参考文献

- [1] BURÝŠKOVÁ B, BLÁHÁ L, VRŠKOVÁ D, et al. Sublethal toxic effects and induction of glutathione s-transperase by short chain chlorinated paraffins (SCCPs) and C-12 alkane (dodecane) in Xenopus laevis frog embryos [J]. ACTA VET BRNO, 2006, 75 (1): 115-122.
- [2] United National Environment Program. Updated supporting document for the risk profile on short-chained chlorinated paraffins (UNEP/POPS/PROPRC.5/INF/18) [R]. Geneva: UNEP, 2009. http://chm.pops.int/Convention/POPsReviewCommittee/Chemicals/tabid/243/Default.aspx.
- [3] Environment Canada. Environment Canada Priority substances program: CEPA assessment report, chlorinated paraffins [R]. Hull Quebec: Commercial Chemicals Branch, 1993. https://www.ec.gc.ca/toxiques-toxics/Default.asp? lang=En&n=148DE7B6-1.
- [4] International Agency for Research on Cancer. Some flame retardants and textile chemicals, and exposures in the textile manufacturing industry [R]. Lyon: IARC, 1990. http://monographs.iarc.fr/ ENG/Monographs/vol48/index.php.
- [5] DE BOER J. Chlorinatedparaffins, in the handbook of environmental chemistry [M]. Berlin Heidelberg: Springer, 2010. http://link.springer.com/book/10.1007/978-3-642-10761-0.
- [6] MOORE S, VROMET L, RONDEAU B.Comparison of metastable atom bombardment and electron capture negative ionization for the analysis of polychloroalkanes [J]. Chemosphere, 2004, 54 (4): 453–459.
- [7] ZENG Lixi, WANG Thanh, WANG Pu, et al. Distribution and trophic transfer of short-chain chlorinated paraffins in an aquatic ecosystem receiving effluents from a sewage treatment plant [J]. Environ Sci Technol, 2011, 45 (13): 5529-5535.
- [8] MARVIN C H, PAINTER S, TOMY G T, et al. Spatial and temporal trends in short-chain chlorinated paraffins in Lake Ontario sediment [J]. Environ Sci Technol, 2003, 37 (20); 4561-4568.
- [9] WANG Thanh, HAN Shanlong, YUAN Bo, et al. Summer-winter concentration and gas-particle partitioning of short chain chlorinated paraffins in the atmosphere of an urban setting [J]. Environmental Pollution, 2012, 171: 38-45.
- [10] HOUDE M, MUIR D C M, TOMY G T, et al. Bioaccumulation and trophic magnification of short-and medium-chain chlorinated paraffins in food webs from Lake Ontario and Lake Michigan [J]. Environ Sci Technol, 2008, 42 (10): 3893-3899.
- [11] YUAN Bo, WANG Thanh, ZHU Nali, et al. Short chain chlorinated paraffins in mollusks from coastal waters in Chinese Bohai Sea [J]. Envion Sci Technol, 2012, 46 (12): 6489-6496.
- [12] TOMY G T.The mass spectrometric characterization of polychlorinated n-alkanes and the methodology for their analysis in the environment [D]. Winnipeg, Manitoba: University of Manitoba, 1997.
- [13] THOMAS G O, FARRAR D, BRAEKEVELT E, et al. Short and medium chain length chlorinated paraffins in UK human milk fat [J]. Environment International, 2006, 32 (1): 34-40.

(下转第 140 页)